

本文引用格式：邵延富,谢大为.基于支持向量机的车险购买意向识别方法[J].自动化与信息工程,2024,45(6):87-92.

SHAO Yanfu, XIE Dawei. A method of car insurance purchase intention recognition based on support vector machine[J]. Automation & Information Engineering, 2024,45(6):87-92.

基于支持向量机的车险购买意向识别方法*

邵延富 谢大为

(广州市景心科技股份有限公司, 广东 广州 510000)

摘要: 针对传统的人工方式判断车主是否有意向购买车险存在效率低、缺乏预测性等问题,提出一种基于支持向量机的车险购买意向识别方法。首先,通过标准化处理与主成分分析降维,将30维的通话数据映射至10维空间,并采用欠抽样策略解决数据样本不平衡的问题;然后,利用SVM模型区分有、无意向车主。实验结果表明,SNM模型的识别召回率和误检率分别为97.9%、4.3%。该方法可为车险公司个性化服务提供技术支持。

关键词: 车险购买意向识别; 主成分分析; 支持向量机; 通话数据

中图分类号: TP311.5

文献标志码: A

文章编号: 1674-2605(2024)06-0013-06

DOI: 10.3969/j.issn.1674-2605.2024.06.013

开放获取

A Method of Car Insurance Purchase Intention Recognition Based on Support Vector Machine

SHAO Yanfu XIE Dawei

(Guangzhou Joysim Technology Co., Ltd., Guangzhou 510000, China)

Abstract: Aiming at the problems of low efficiency and lack of predictability in traditional manual methods of judging whether car owners intend to purchase car insurance, a car insurance purchase intention recognition method based on support vector machine is proposed. Firstly, through standardization and principal component analysis dimensionality reduction, the 30 dimensional call data is mapped to a 10 dimensional space, and under sampling strategy is adopted to solve the problem of imbalanced data samples; Then, use SVM model to distinguish between interested and uninterested car owners. The experimental results show that the recognition recall rate and false detection rate of the SNM model are 97.9% and 4.3%. This method can provide technical support for personalized services of car insurance companies.

Keywords: car insurance purchase intention recognition; principal component analysis; support vector machine; calling data

0 引言

据统计,2022年我国民用汽车保有量已突破3.8亿辆^[1]。同时,车险险种的结构、费用费率不合理等问题也日渐浮现。自2015年第二次车险费用改革以来,我国车险行业通过市场化手段降低了车险费率,但仍存在经营粗放、竞争失序和数据失真等问题^[2],迫切需要深化改革,以满足高质量发展的要求。为此,利用车险公司积累的大量数据,通过建立准确的数学模型,对车险产品进行精细化管理和定价非常重要。其中,对不同购买意向的车主提供个性化的保险方案

与服务,可提高车险的吸引力,促进车险行业向更合理、高效的方向发展。

通过车主与车险公司的通话内容,分析车主的车险购买意向,有助于车险公司为车主提供更好的服务。传统的车险购买意向主要通过人工标注和调查问卷的方式来确定,不仅效率低,而且缺乏预测性。因此,开发基于大数据和机器学习算法的车险购买意向识别技术,具有重要的理论意义和应用价值^[3]。

目前,车主购买车险意向的研究主要分为4类:

1) 根据车主过去的车险购买记录,通过数据挖掘和

* 基金项目: 广东省科技计划项目(2016A050502060, 2020B1010010005); 广州市科技计划项目(202206010011, 2023B03J1339)。

模式识别技术,预测车主未来购买车险的可能性和偏好,其优点是直接利用已有的数据资源,具有较强的实证基础,但过度依赖历史数据,忽略了车主的偏好和市场环境的变化;2)通过分析车主的驾驶行为和风格,如驾驶速度、刹车习惯等,预测其购买车险的意向,其优点是体现了车主的个性化需求,能更精准地匹配适合其特点的车险产品,但收集和分析驾驶行为数据需要较高的技术支持和成本,且可能涉及隐私问题;3)通过分析车主的消费习惯和偏好,如车险价格敏感度、险种选择偏好等,了解车主购买车险的行为模式,其优点是从业者的角度为车险产品的设计和营销策略提供指导,但消费习惯受多种因素的影响,变化较大,难以准确预测;4)车险公司的产品质量与服务态度,其优点是直接反映车险公司在市场中的竞争力,为其提升产品质量和改进服务提供指导方向,但评价标准主观性强,且受限于车主的个人体验和期望,可能存在一定的偏差^[4]。

本文利用车主与车险公司的通话数据,提出一种基于支持向量机(support vector machine, SVM)的车险购买意向识别模型,分析车主购买或复购车险的意向程度。该模型利用主成分分析(principal component analysis, PCA)算法降低输入特征的维度,减少计算复杂度;通过 SVM 在 N 维空间中寻找最大化超平面,将有意向车主与无意向车主有效分离。

1 相关研究

1.1 PCA

PCA 是一种经典的数据降维技术,基本思想是将原始数据线性映射到一个新的正交空间,使映射后数据的方差最大,并舍弃贡献率较小的次要成分。具体做法是:计算数据协方差矩阵,求解其特征值和特征向量;选取前 k 个最大的特征值对应的特征向量作为新空间的基底,将原始数据投影到新空间中实现降维。

PCA 具有算法简单、无数据损失等特点,被广泛应用于图像识别、信号处理、数据压缩等领域。但它是一种无监督学习方法,数据降维后可能会丢失有用的判别信息。

1.2 SVM

SVM 是一种基于统计学习理论发展起来的有监督学习模型,主要用于模式识别、数据分析等领域。其基本工作原理是在高维特征空间中寻找一个最大边界超平面,将不同类别的样本点分开,使两类样本点到超平面的距离最大,从而达到较好的分类效果,原理如图 1 所示。

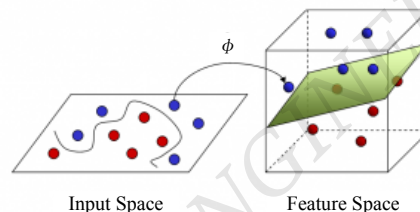


图 1 SVM 分类效果原理

SVM 具有正则化的特点,能够较好地控制模型的复杂度,避免过拟合;且泛化能力较强,在小样本、高维、非线性等情况下仍能获得较理想的性能。

2 识别方法

基于改进 SVM 的车险购买意向识别方法主要分为数据获取、数据预处理、特征降维、SVM 分类、模型预测 5 个环节。预先设定车主的车险购买意向为有意向车主和无意向车主 2 种类型。

2.1 数据获取

在预先获得授权的前提下,统计某车险公司半年内的通话数据,得出 30 个与车险购买意向相关的维度,包括是否拨打车险公司号码、通话时长、是否为主叫方等。其中,车主的手机号码经过加密脱敏处理。最终,收集到无意向车主数据 453 869 条、有意向车主数据 518 条。通话原始数据维度如表 1 所示。

表 1 通话原始数据特征维度^[5]

| 序号 | 字段名 |
|-----------|--------------|
| <i>id</i> | 手机号码(加密脱敏处理) |
| x_1 | 总拨打次数 |
| x_2 | 总被拨打次数 |
| x_3 | 对车险公司总拨打次数 |
| x_4 | 对车险公司总拨打号码数 |

续表

| 序号 | 字段名 |
|-----------------|----------------------|
| x ₅ | 对车险公司拨打总接通次数 |
| x ₆ | 对车险公司拨打总接通号码数 |
| x ₇ | 被车险公司总拨打次数 |
| x ₈ | 被车险公司总拨打号码数 |
| x ₉ | 被车险公司拨打总接通次数 |
| x ₁₀ | 被车险公司拨打总接通号码数 |
| x ₁₁ | 与车险公司平均通话时长 |
| x ₁₂ | 对车险公司拨打未接通次数 |
| x ₁₃ | 对车险公司拨打未接通号码数 |
| x ₁₄ | 被车险公司拨打未接通次数 |
| x ₁₅ | 被车险公司拨打未接通号码数 |
| x ₁₆ | 0~8 点时段被车险公司拨打次数 |
| x ₁₇ | 8~12 点时段被车险公司拨打次数 |
| x ₁₈ | 12~14 点时段被车险公司拨打次数 |
| x ₁₉ | 14~18 点时段被车险公司拨打次数 |
| x ₂₀ | 18~24 点时段被车险公司拨打次数 |
| x ₂₁ | 0~8 点时段对车险公司拨打次数 |
| x ₂₂ | 8~12 点时段对车险公司拨打次数 |
| x ₂₃ | 12~14 点时段对车险公司拨打次数 |
| x ₂₄ | 14~18 点时段对车险公司拨打次数 |
| x ₂₅ | 18~24 点时段对车险公司拨打次数 |
| x ₂₆ | 0~8 点时段与车险公司平均通话时长 |
| x ₂₇ | 8~12 点时段与车险公司平均通话时长 |
| x ₂₈ | 12~14 点时段与车险公司平均通话时长 |
| x ₂₉ | 14~18 点时段与车险公司平均通话时长 |
| x ₃₀ | 18~24 点时段与车险公司平均通话时长 |
| y | 是否有购买车险意向 |

无意向车主数据（453 869 条）与有意向车主数据（518 条）存在严重的数据不平衡。如果直接基于这种不平衡数据训练模型，将导致模型泛化性能较差。为解决这一问题，本文采用欠抽样的策略，从无意向车主数据中随机抽取 518 条，与有意向车主的 518 条数据组成平衡的混合数据集，并将该混合数据集按照 1:1 的比例划分为训练集和验证集^[6]。

2.2 数据预处理

由于通话数据特征维度的量纲不同，如是否主叫

的取值范围为{0, 1}，通话时长以秒为单位，因此需要对原始通话数据进行标准化处理，即将不同量纲的数据统一到同一数量级：

$$X' = \frac{X - \mu}{\sigma} \quad (1)$$

式中： X 为原始通话数据， μ 和 σ 分别为每个维度通话数据的均值和标准差， X' 为标准化后的通话数据^[7]。

将训练集的通话数据标准化后，所有特征数据的均值为 0，标准差为 1。

2.3 特征降维

由于标准化后的通话数据的特征维数较高（30 个），且部分特征存在线性相关性，直接输入模型可能会导致过拟合及计算效率降低。为此，采用 PCA 算法对标准化后的通话数据进行降维处理。

设 30 维标准化后的通话数据组成的协方差矩阵为

$$\text{cov}(\mathbf{X}) = \begin{pmatrix} \text{cov}(x_1, x_1) & \cdots & \text{cov}(x_1, x_{30}) \\ \vdots & \ddots & \vdots \\ \text{cov}(x_{30}, x_1) & \cdots & \text{cov}(x_{30}, x_{30}) \end{pmatrix} \quad (2)$$

式中： $\text{cov}(x_i, x_j)$ 为第 i 个数据与第 j 个数据的协方差。

计算协方差矩阵 $\text{cov}(\mathbf{X})$ 的特征值及其对应的特征向量。将 $\text{cov}(\mathbf{X})$ 特征值按照从大到小的顺序排序后分别为 r_1, r_2, \dots, r_{30} ，其对应的特征向量分别为 a_1, a_2, \dots, a_{30} 。选择前 k 个最大的特征值对应的特征向量，并计算这 k 个特征值之和占全部特征值总和的百分比^[8]，计算公式为

$$p_k = \frac{\sum_{i=1}^k r_i}{\sum_{i=1}^{30} r_i} \times 100\% \quad (3)$$

式中： p_k 为前 k 个最大的特征值之和占全部特征值总和的百分比。

依次计算 $k = 1, 2, 3, \dots, 10$ ，结果如表 2 所示。

表 2 协方差矩阵 $cov(X)$ 特征值占比 %

| 维度 | 特征值占全部特征值总和的比例 | 特征值之和占全部特征值总和的比例 p_k |
|--------|----------------|------------------------|
| $k=1$ | 17.0 | 17.0 |
| $k=2$ | 15.0 | 32.0 |
| $k=3$ | 11.0 | 43.0 |
| $k=4$ | 10.0 | 53.0 |
| $k=5$ | 9.0 | 62.0 |
| $k=6$ | 8.7 | 70.7 |
| $k=7$ | 7.4 | 78.1 |
| $k=8$ | 7.1 | 85.2 |
| $k=9$ | 6.5 | 91.7 |
| $k=10$ | 6.4 | 98.1 |

由表 2 可知，前 10 个最大的特征值之和占全部特征值总和的比例为 98.1%，即主成分保留 98% 以上，故选取前 10 个特征值替代通话数据的 30 个特征值。

设标准化、降维后的通话数据 10 个特征值对应的特征向量组成的列矩阵为 $A = (a_1, a_2, \dots, a_{10})$ ，标准化后的通话数据组成的矩阵为 $X_{(518 \times 30)}$ ，则最后得到的投影矩阵为 $X_{投} = XA$ 。

投影矩阵 $X_{投}$ 为新的通话样本数据矩阵，共 10 个维度，518 个样本。

2.4 SVM 分类

经初步分析发现，有意向车主数据与无意向车主数据在一些字段上较为相似，用低维的曲线拟合容易导致欠拟合，用高维的多项式拟合容易出现过拟合。为此，采用 SVM 算法先把低维不可分的数据投射到高维空间，再用高维超平面进行是否有车险购买意向的二分类。

然而在实践中，较难通过一个超平面精准地分开两个类别。为此，引入软间隔的概念，允许某些数据点可以处于错误的分类侧。软间隔的概念包括松弛变量 ξ 和惩罚参数 C 两个要素。

1) 松弛变量 ξ ：对于每个样本 i ，引入一个非负的松弛变量 ξ_i 来表示该样本距离正确分类边界的距离。如果该样本被正确分类，则 $\xi_i = 0$ ；如果该样本被正确分类，但位于边界内部，没有完全满足间隔要求，则 $0 < \xi_i < 1$ ；如果该样本恰好位于分割超平面上，则

$\xi_i = 1$ ；如果该样本被错误分类，则 $\xi_i > 1$ 。

2) 惩罚参数 C ：引入一个正的调整参数 C ，其决定了分类的严格程度。较大的惩罚参数 C 意味着模型会对错误分类的样本给予更大的惩罚，从而可能导致模型过拟合；较小的惩罚参数 C 使模型对错误分类的样本惩罚减小，从而可能导致模型欠拟合。

设 w 为所求超平面的法向量，本文目标是找到这个法向量 w 以及参数 ξ_i ，以最大化两个类别之间的边界或间隔，同时确保所有样本能被正确分类。这可以表达为以下问题：

$$\min_{w, b, \xi} : \frac{1}{2} \|w\|^2 + C \sum_{i=1}^N \xi_i \quad (4)$$

为了确保所有的样本尽可能地被正确分类（允许一些错误分类存在），对每个样本 i 施加以下约束：

$$y_i(w^T n_i + b) \geq 1 - \xi_i \quad (5)$$

$$\xi_i > 0, i = 1, 2, \dots, 518 \quad (6)$$

式中： y_i 为样本 i 的真实类别（有意向车主或无意向车主）， b 为超平面的截距， n_i 为由样本 i 各维度（10 个）数值组成的向量。

利用拉格朗日乘子法求解上述优化问题，对应的拉格朗日函数为

$$L(w, b, \xi, \alpha, \mu) = \frac{1}{2} \|w\|^2 + C \sum_{i=1}^N \xi_i - \sum_{i=1}^N \alpha_i (y_i (w \cdot n_i + b) - 1 + \xi_i) - \sum_{i=1}^N \mu_i \xi_i \quad (7)$$

式中： μ_i 为拉格朗日算子。

这样，把 w 和 b 的约束最小化 L 问题转换为 α 的约束最大化 L 问题，从而得到对偶问题：

$$\max_{\alpha} : \sum_{i=1}^n a_i - \frac{1}{2} \sum_{i,j=1}^n y_i y_j a_i a_j n_i^T n_j \quad (8)$$

需要满足条件：

$$0 \leq a_i \leq C, \sum_{i=1}^n a_i y_i = 0 \quad (9)$$

原始问题的解若要与对偶问题的解一致，需要满足 KKT 条件，即

$$\alpha_i (y_i (\mathbf{w} \cdot \mathbf{n}_i + b) - 1 + \xi_i) = 0 \quad (10)$$

$$\mu_i \xi_i = 0 \quad (11)$$

使用序列最小优化算法求解上述对偶问题（详细过程不是本文重点，不再赘述），可以得到 SVM 模型的超平面法向量 \mathbf{w} 以及超平面的截距 b 。

对于需要预测的样本点 n_{i+1} ，SVM 模型的输出结果为

$$u_{i+1} = \mathbf{w} \cdot \mathbf{n}_{i+1} + b \quad (12)$$

$u_{i+1} > 0$ 为无意向车主， $u_{i+1} < 0$ 为有意向车主^[9]。

综上所述，基于 SVM 模型的车险购买意向识别方法的流程如图 2 所示。

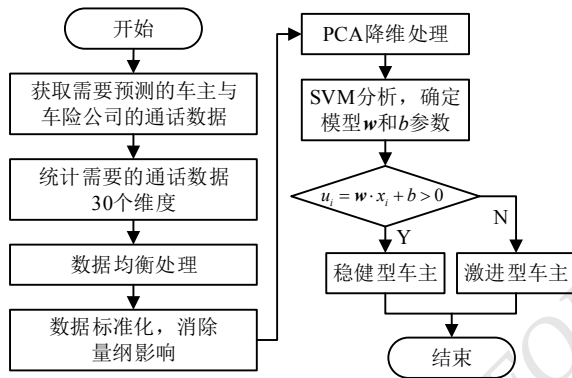


图 2 基于 SVM 模型的车险购买意向识别方法的流程

2.5 模型预测

利用验证集的 518 条数据进行 SVM 模型预测验证，其中 288 条数据为有意向车主数据，占比为 55.6%；230 条为无意向车主数据，占比为 44.4%。

对验证集数据进行数据预处理、特征降维（10 维）后，输入 SVM 模型（公式 12），得出的预测结果如表 3 混淆矩阵所示^[10]。

表 3 验证集对模型验证的结果混淆矩阵 单位：个

| | | 预测 | |
|----|-------|-------|-------|
| | | 有意向车主 | 无意向车主 |
| 实际 | 有意向车主 | 282 | 6 |
| | 无意向车主 | 10 | 220 |

由表 3 可知，SVM 模型预测的召回率为 97.9%（ $282/(282+6)$ ），误检率为 4.3%（ $10/(220+10)$ ），表

明该模型的预测性能良好^[11]。

3 结论

本文针对车主的车险购买意向识别问题，提出了一种基于支持向量机的车险购买意向识别方法。1) 根据车主与车险公司的通话数据，统计需要分析的 30 个维度；2) 利用欠抽样策略随机抽取部分车主数据，构建平衡数据集，缓解模型训练过程中的数据偏差；3) 对 30 维的原始通话数据进行标准化预处理，消除不同特征量纲的影响；4) 采用 PCA 算法将 30 维数据映射到 10 维空间，并保留了 98% 以上的方差贡献，有效降低了数据冗余；5) 采用 SVM 算法建立分类模型，将是否有意向购买车险的数据进行分类。经验证集测试，SVM 模型的召回率为 97.9%，误检率为 4.3%，具有良好的分类性能。本文 SVM 模型还存在需要改进的地方，如模型进一步优化、模型参数的自动调优等。

©The author(s) 2024. This is an open access article under the CC BY-NC-ND 4.0 License (<https://creativecommons.org/licenses/by-nc-nd/4.0/>)

参考文献

- [1] 杨怡. 关于推动我国交通运输高质量发展的几点思考[J]. 人民公交, 2024(11): 69-72.
- [2] 房弢, 陈晨, 华圆. 中小财产车险公司差异化发展路径与服务实践研究[J]. 浙江工商职业技术学院学报, 2024, 23(1): 13-17.
- [3] 唐金成, 肖思文. 新能源车险发展困境与创新策略[J]. 中国保险, 2024(5): 29-33.
- [4] 谭征. 基于 K-Means 和 SEM 的消费者互联网保险购买意愿研究——以 TPB 和 TAM 为分析框架[J]. 重庆理工大学学报(自然科学), 2019, 33(2): 198-207.
- [5] 邓育辉, 李鹏, 邵延富, 等. 基于神经网络与粒子群算法的骚扰电话识别研究[J]. 数据通信, 2022(5): 28-30.
- [6] HAN Jiawei, KAMBER Micheline, Pei Jian. Data mining: Concepts and techniques[M]. Waltham: Morgan Kaufmann Publishers, 2012: 265-270.
- [7] 包研科. 数据分析教程[M]. 北京: 清华大学出版社, 2011: 68-76.
- [8] 王学民. 应用多元分析[M]. 4 版. 上海: 上海财经大学出版社, 2014: 188-214.
- [9] TAN Pangning, STEINBACH Michael, Vipin Kumar. Mining

W I D. Introduction to data mining[M]. New Jersey: Pearson Education, Inc, 2006:127-189.

[10] 李文楷,刘原池,刘子越,等.基于正样本-背景数据的校正混

淆矩阵[J].海南大学学报(自然科学版),2023,41(3):293-302.

[11] 高瑞.混淆矩阵在商业决策中的应用研究[J].当代经济, 2021(4):110-113.

作者简介:

邵延富,男,1972年生,硕士研究生,高级工程师,主要研究方向:软件工程和大数据工程。E-mail: 13632102858@139.com

谢大为,男,1991年生,本科,高级工程师,主要研究方向:大数据工程。E-mail: 13798088446@139.com

~~~~~

(上接第 79 页)

[4] KUNDU S, GAUTAM M, HERATH A, et al. People detection in an elevator car using computer vision[C]. Proceedings of the 7th Baltic Mechatronics Symposium, Aalto-yliopisto, 2022.

[5] WU D, WU S, ZHAO Q, et al. Computer vision-based intelligent elevator information system for efficient demand-based operation and optimization[J]. Journal of Building Engineering, 2024, 81:108126.

[6] KOLB A, BARTH E, KOCH R. ToF-sensors: New dimensions for realism and interactivity[C]. IEEE Computer Society Conference on Computer Vision and Pattern Recognition Workshops, IEEE, 2008: 1-6.

[7] HE Y, LIANG B, ZOU Y, et al. Depth errors analysis and correction for time-of-flight (ToF) cameras[J]. Sensors, 2017, 17(1):92.

[8] TANNER R, STUDER M, ZANOLI A, et al. People detection and tracking with TOF sensor[C]. 2008 IEEE Fifth International Conference on Advanced Video and Signal Based Surveillance, IEEE, 2008: 356-361.

[9] STEC M, HERRMANN V, STABERNACK B. Using time-of-flight sensors for people counting applications[C]. 2019 Conference on Design and Architectures for Signal and Image Processing (DASIP), IEEE, 2019: 59-64.

[10] JANG Jun-Woo, LEE Sehwan, KIM Dongyoung, et al. Sparsity-aware and re-configurable NPU architecture for Samsung flagship mobile SoC[C]. 2021 ACM/IEEE 48th Annual International Symposium on Computer Architecture (ISCA), IEEE, 2021:15-28.

[11] KIM S, PARK G, YI Y. Performance evaluation of INT8 quantized inference on mobile GPUs[J]. IEEE Access, 2021, 9:164245-164255.

[12] TERVEN J, CORDOVA-ESPARZA D, ROMERO-GONZÁLEZ J A. A comprehensive review of Yolo architectures in computer vision: From YOLOv1 to YOLOv8 and YOLO-NAS[J]. Machine Learning and Knowledge Extraction, 2023,5(4): 1680-1716.

[13] IOFFE Sergey, SZEGEDY Christian. Batch normalization: Accelerating deep network training by reducing internal covariate shift[C]. Proceedings of the 32nd International Conference on Machine Learning, 2015,37:448-456.

[14] QIU M, HUANG L, TANG B-H. ASFF-YOLOv5: Multielement detection method for road traffic in UAV images based on multiscale feature fusion[J]. Remote Sensing, 2022,14(14): 3498.

[15] HE K, ZHANG X, REN S, et al. Spatial pyramid pooling in deep convolutional networks for visual recognition[J]. IEEE Transactions on Pattern Analysis and Machine Intelligence, 2015,37(9):1904-1916.

[16] ELFWING S, UCHIBE E, DOYA K. Sigmoid-weighted linear units for neural network function approximation in reinforcement learning[J]. Neural Networks, 2018,107:3-11.

[17] GLOTZKOW Xavier, BORDES Antoine, BENGIO Yoshua. Deep sparse rectifier neural networks[C]. Proceedings of the Fourteenth International Conference on Artificial Intelligence and Statistics, 2011,15:315-323.

#### 作者简介:

唐其伟,男,1979年生,硕士研究生,主要研究方向:智能传感与智能控制。E-mail: tangqiwei@hitachi-helc.com

杜卉然,男,1993年生,硕士研究生,主要研究方向:机器学习与机器视觉。E-mail: duhuiran@hitachi-helc.com

程伟,男,1984年,硕士研究生,主要研究方向:智能控制。E-mail: chengwei@hitachi-helc.com

陈刚,男,1989年生,硕士研究生,主要研究方向:机械电子工程。E-mail: chengang39802@hitachi-helc.com